



Giovanna

Carlomagno A., Ferrandino A., Kedrina O., Ruffa P., Raimondi S., Novello V. (2014) - Giovanna. In: Italian Vitis Database, www.vitisdb.it, ISSN 2282-006X
 release 13/07/2015, ultimo aggiorn. 13/07/2015 url <http://vitisdb.it/accessions/show/15925>

Informazioni gestite da

Dipartimento di Scienze Agrarie, Forestali e Alimentari - Università degli Studi di Torino

Ringraziamenti

Ager-IVD; Istituto di Istruzione Superiore di Stato 'Umberto I' - Alba (CN)

Informazioni generali

nome Giovanna **codice** ITA424-047
nazione di selezione Italia **regione di selezione** Piemonte
provincia di selezione non disponibile **località di selezione** non disponibile
istituzione custode Dipartimento di Scienze Agrarie, Forestali e Alimentari - Università degli Studi di Torino
collezione Campo collezione Ampelion - Alba (CN)

Varietà & clone

tipo di origine incrocio intraspecifico **genere** Vitis
specie Vitis vinifera **sub specie** sativa
varietà Giovanna **codice della varietà** IVD-var_284
clone non disponibile
trueness to type accertato con rilievi morfologici e microsatelliti

Trueness to type

True-name

confermato **si**

Trueness to type accertato con rilievi morfologici (ampelografici)

accertamento con rilievi morfologici (ampelografici) **accertato**

Trueness to type accertato con microsatelliti

accertamento con microsatelliti **accertato**

loci confrontati n.d.

loci identici n.d.

discrepanze n.d.

Profilo microsatellite standardizzato

loci:	loci predefiniti (9)																	
locus SSR:	VVS2		VVMD5		VVMD7		VVMD27		VrZAG62		VrZAG79		VVMD25		VVMD28		VVMD32	
allele:	A1	A2	A1	A2	A1	A2	A1	A2	A1	A2	A1	A2	A1	A2	A1	A2	A1	A2
dimensione:	135	143	231	237	233	249	179	195	186	196	243	255	256	256	247	247	273	273

Immagini



germoglio



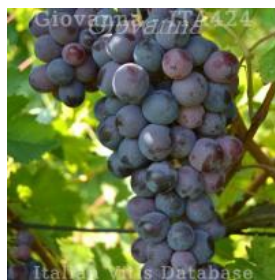
foglia



foglia pagina superiore



foglia pagina inferiore



grappolo



acino

Ampelografia

OIV	descrizione	valore		immagini
004	Giovane germoglio: densità dei peli striscianti dell'apice	1 / 3	nulla o molto bassa / bassa	
007	Germoglio: colore del lato dorsale degli internodi	2	verde e rosso	
008	Germoglio: colore del lato ventrale degli internodi	1	verde	
016	Germoglio: numero di viticci consecutivi	1	2 o meno	
051	Foglia giovane: colore della pagina superiore del lembo (4 a foglia)	3	bronzato	
053	Foglia giovane: densità peli striscianti tra le nervature principali della pagina inferiore (4a foglia)	3	bassa	
067	Foglia adulta: forma del lembo	3 / 2	pentagonale / cuneiforme	
068	Foglia adulta: numero dei lobi	2 / 3	tre / cinque	
070	Foglia adulta: distribuzione pigmentazione antocianica nervature principali pagina superiore	1 / 3	assente / fino alla 1a biforcazione	
075	Foglia adulta: bollosità della pagina superiore del lembo	3	bassa	
076	Foglia adulta: forma dei denti	3 / 5	entrambi i lati convessi / misto tra entrambi i lati rettilinei (livello 2) e entrambi i lati convessi (livello 3)	
079	Foglia adulta: grado di apertura / sovrapposizione dei bordi del seno peziolare	3 / 7 (Ø 5)	aperto / sovrapposto	
080	Foglia adulta: forma della base del seno peziolare	3 / 2	a V / a parentesi graffa (f)	
081-1	Foglia adulta: denti del seno peziolare	1	assenti	
081-2	Foglia adulta: base del seno peziolare delimitata dalla nervatura	1	non delimitata	
083-2	Foglia adulta: denti nei seni laterali superiori	9	presenti	
084	Foglia adulta: densità dei peli striscianti tra le nervature principali sulla pagina inferiore del lembo	3 / 5	bassa / media	
087	Foglia adulta: densità dei peli eretti sulle nervature principali della pagina inferiore del lembo	5	media	
151	Fiore: organi sessuali	3	stami completamente sviluppati e gineceo completamente sviluppato	

155	Tralcio: fertilità delle gemme basali (gemme 1-3)	1	molto bassa (<0,5)	
202	Grappolo: lunghezza (escluso il peduncolo)	7 / 5	lungo / medio	
204	Grappolo: compattezza	3 / 5	spargolo / medio	
208	Grappolo: forma	2	conico	
220	Acino: lunghezza	5 / 7	medio / lungo	
221	Acino: larghezza	5 / 7	medio / largo	
223	Acino: forma	2 / 6	sferoidale / troncovoidale	
225	Acino: colore della buccia	5	rosso scuro violetto	
236	Acino: particolarità dell'aroma	2	aroma moscato	
241	Acino: sviluppo dei vinaccioli	3	completo	

Note ampelografiche

Nelle piante osservate la cultivar in questione presenta generalmente lobo mediano molto allungato, il profilo del lembo si presenta leggermente a coppa od a gronda. La base del seno peziolare è talvolta a graffa asimmetrica ma più frequentemente a V.

La polpa della bacca risulta essere debolmente soda e generalmente contiene un solo vinacciolo

Ampelometria**OIV**

nessun descrittore presente per Giovanna

Superampelo

distanze		
descrittore	valore	deviazione standard
Distanza tra estremità di N2 e estremità della prima ramificazione laterale di N2	52.790	23.009
Distanza tra estremità di N2' e estremità della prima ramificazione laterale di N2'	58.190	16.211
Distanza dal seno peziolare al seno inferiore destro	25.320	7.544
Distanza dal seno peziolare al seno inferiore sinistro	26.730	6.767
Distanza dal seno peziolare al seno superiore destro	25.350	6.285
Distanza dal seno peziolare al seno superiore sinistro	24.280	5.503
Nervatura N3, lunghezza dal seno peziolare alla nervatura N4	13.550	3.333
Nervatura N3', lunghezza dal seno peziolare alla nervatura N4'	12.850	2.604
Lunghezza della nervatura N5	10.360	3.937
Lunghezza della nervatura N5'	11.050	2.726
Lunghezza della nervatura N4	29.630	8.352
Lunghezza della nervatura N4'	31.550	5.313
Larghezza della foglia	159.860	18.570
Lunghezza della foglia	163.210	13.768
Lunghezza del picciolo	92.650	9.520
Lunghezza della foglia compreso il picciolo	216.280	19.288
Distanza tra gli estremi delle nervature N2 e N2'	154.490	23.193
Lunghezza della nervatura N1	123.650	11.680
Distanza tra gli estremi delle nervature N4 e N4'	39.960	13.593
Distanza tra gli estremi delle nervature N3 e N3'	116.710	22.264
Lunghezza della nervatura N2	98.240	11.254
Larghezza del seno peziolare / Distanza tra i punti SP e SP'	-15.630	7.998
Lunghezza della nervatura N3	60.530	9.910
Lunghezza della nervatura N2'	100.279	13.149
Lunghezza della nervatura N3'	63.470	10.581

angoli		
descrittore	valore	deviazione standard
Angolo tra N1 e N2 misurato alla prima biforcazione	65.400	7.704
Angolo tra N2 e N3 misurato alla prima biforcazione	59.660	6.484
Angolo tra N1 e N2' misurato alla prima biforcazione	63.670	6.881
Angolo tra N3 e N4 alla prima biforcazione di N3	63.780	10.249
Angolo tra N2' e N3' misurato alla prima biforcazione	56.440	6.885
Angolo tra N1 e N2 misurato agli estremi delle nervature	51.100	15.860
Angolo tra N3' e N4'	61.080	7.451
Angolo tra N2 e N3 misurato agli estremi delle nervature	59.670	9.924
Angolo tra N1 e N2' misurato agli estremi delle nervature	53.460	7.674
Angolo tra N3 e N4 misurato agli estremi delle nervature	42.220	6.690
Angolo tra N2' e N3' misurato agli estremi delle nervature	54.350	9.532
Angolo di apertura del seno peziolare misurato a SP e SP'	47.340	21.699
Angolo tra N3' e N4' misurato agli estremi delle nervature	42.790	4.823
Angolo tra S e S' con centro in N1	14.790	3.037
Angolo tra D e D' con centro in N1	85.810	7.542
Angolo tra I e I' con centro in N1	23.110	5.668

rapporti		
descrittore	valore	deviazione standard
Rapporto tra l'altezza e la base dei denti del lato sinistro	0.612	0.075
Rapporto tra l'altezza e la base dei denti del lato destro	0.652	0.093
Rapporto tra l'altezza e la base del dente all'estremità della nervatura N2'	1.130	0.087
Rapporto tra l'altezza e la base del dente all'estremità della nervatura N2	1.117	0.186
Rapporto tra l'altezza e la base del dente all'estremità della nervatura N4	1.129	0.313
Media della base dei denti del lato sinistro	9.406	1.480
Media della base dei denti del lato destro	9.843	2.883
Media dell'altezza dei denti del lato sinistro	5.727	0.987
Rapporto tra l'altezza e la base del dente all'estremità della nervatura N4'	1.046	0.203
Media dell'altezza dei denti del lato destro	6.399	2.096
Rapporto tra Lunghezza e larghezza della foglia	1.026	0.070
Rapporto tra la somma degli angoli $a' + b'$ e la somma della distanza tra il seno peziolare e il seno superiore sinistro OS' e il seno peziolare e il seno inferiore sinistro OI'	0.043	0.011
Rapporto tra la somma degli angoli $a + b$ e la somma della distanza tra il seno peziolare e il seno superiore destro OS e il seno peziolare e il seno inferiore destro OI	0.046	0.015